

# Control de un modelo de horno lineal: control centralizado $\mathcal{H}_2$ y $\mathcal{H}_\infty$ , comparativa con PI por desacoplamiento SVD

Presentaciones en vídeo:

<http://personales.upv.es/asala/YT/V/forn6pg.html>,

<http://personales.upv.es/asala/YT/V/forn7h2.html>,

<http://personales.upv.es/asala/YT/V/forn8hi.html>.

© 2021 Antonio Sala Piqueras, Universitat Politècnica de València. Todos los derechos reservados.

Este código ejecutó correctamente en Matlab R2021a

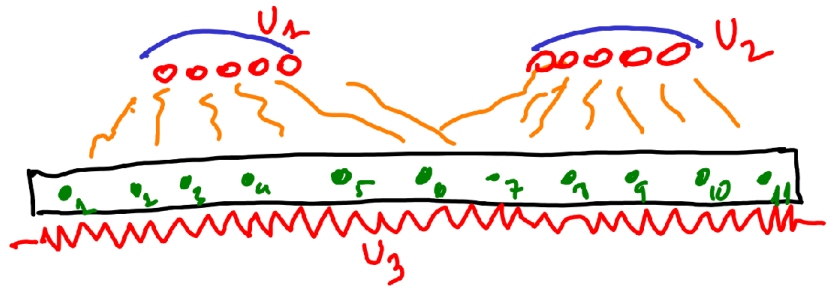
**Objetivos:** Diseñar controladores centralizados  $\mathcal{H}_2$  y  $\mathcal{H}_\infty$  en un modelo de horno y simular su comportamiento en tiempo y frecuencia. Comparar con PID por desacoplamiento SVD.

## Tabla de Contenidos

Modelo.....	1
Análisis de controlabilidad Entrada-Salida.....	2
Cambio de variable, desacoplamiento SVD + PIDs.....	5
Sintonía de PIDs.....	7
Propiedades en bucle cerrado (tiempo, frecuencia) de los componentes principales.....	9
Control centralizado H2 o H-infinito.....	11
Planta Generalizada no ponderada.....	11
Diseño H-2 (LQR+Kalman).....	12
Diseño H-infinito ( sensibilidad mixta).....	14
Reducción de orden de reguladores.....	16
Robustez de los diseños de control.....	21
Conclusiones.....	22

## Modelo

Supongamos un modelo de sistema térmico donde TRES elementos calefactores calientan determinada pieza y se desea controlar la temperatura en 11 puntos (informalmente, dado que matemáticamente no es posible con 3 actuadores):



```

MCe=10*diag(ones(1,11));
Acond=diag([-1 2*ones(1,9) 1])+diag(ones(10,1),1)+diag(ones(10,1),-1);
Kconduc=0.5;Kamb=0.49;
A=MCe\ (Acond*Kconduc-Kamb*diag([1.5 1 1 1 1 1 1 1 1 1.5]));
B=MCe\ (20*[0.85 1.05 1.1 1 .8 .55 .45 .35 .25 .2 .2;
    .05 .1 .15 .3 .4 .5 .8 1.1 1.1 1. 0.95;
    .6*ones(1,11)]');
forn=ss(A,B,eye(11),0);

```

## Análisis de controlabilidad Entrada-Salida

El escalado lo haremos con:

-- límite de cada actuador

```
Eu=diag([7; 5.5; 3.5]);
```

-- incremento (idealmente) deseado de cada termopar

```
Ey=diag([100 120 140 160 160 160 160 160 140 120 100]);
```

Con lo que el sistema dinámico escalado será:

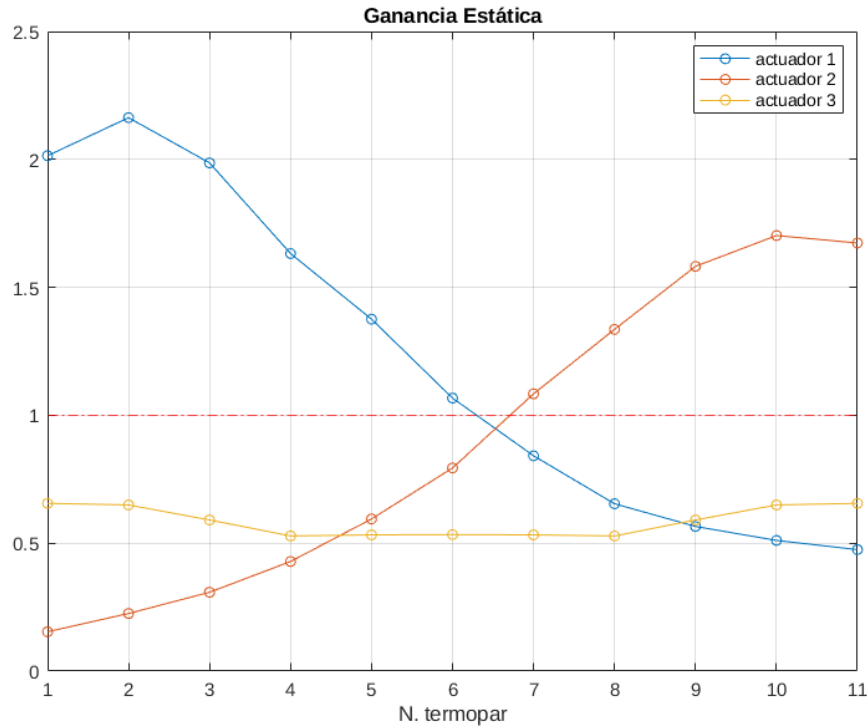
```
forn_esc=Ey\forn*Eu; %adimensional todo en [-1,+1] como referencia.
```

Resulta en esta matriz de ganancia estática escalada:

```

Gan_esc=dcgain(forn_esc);
plot(Gan_esc,Marker='o'), grid on, yline(1,'-.r'), title("Ganancia Estática")
legend("actuador 1","actuador 2","actuador 3"), xlabel("N. termopar")

```

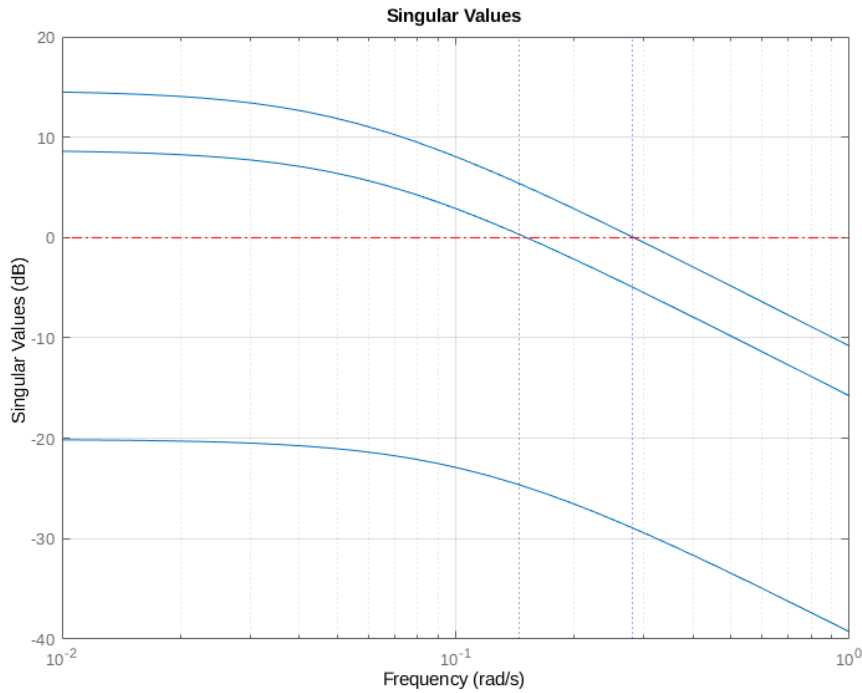


```
[Nout,Nin]=size(Gan_esc)
```

```
Nout = 11
Nin = 3
```

Los valores singulares en función de la frecuencia son:

```
sigma(forn_esc,tf(1),'-r'), grid on,xline(0.28,:b'), xline(0.145,:t')
```



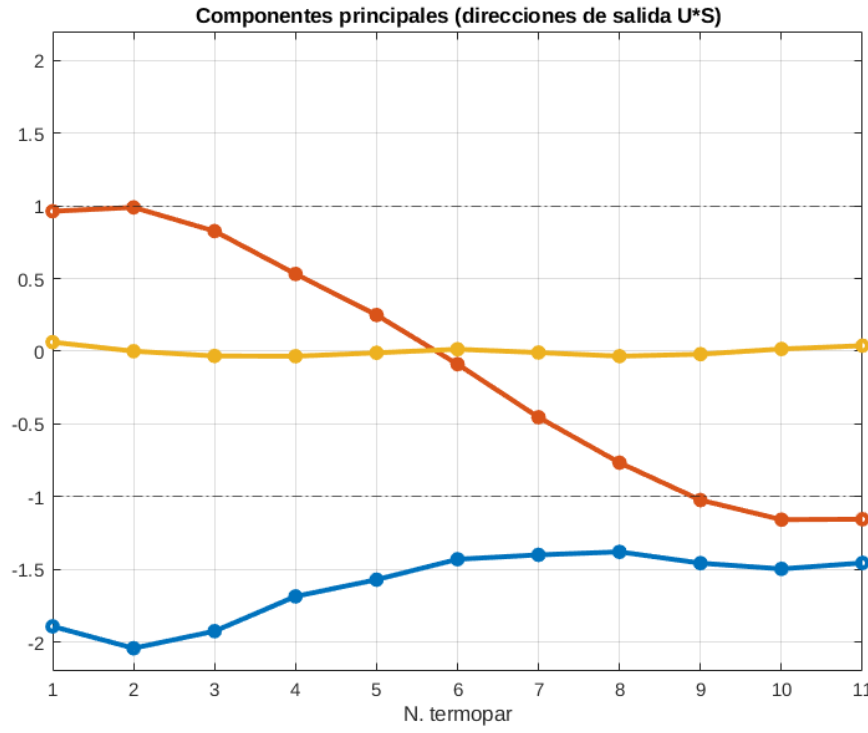
Los cruces con 0dB de cada maniobra son a 0.16 y a 0.28 rad/s.

**Análisis de la ganancia:** en concreto a frecuencia cero, las direcciones de entrada y salida son:

```
[U,S,V]=svd(Gan_esc,'econ');
S %ganancias principales (valores singulares)
```

```
S = 3x3
 5.3999      0      0
    0    2.7314      0
    0      0    0.0988
```

```
plot(U*S,LineWidth=3, Marker='o'), grid on, title("Componentes principales (direcciones)
yline(1,'-.'), yline(-1,'-.'), ylim([-2.2 2.2])
xlabel('N. termopar')
```



Las direcciones de entrada son:

V

```
v = 3x3
-0.7837    0.5683   -0.2507
-0.5071    -0.8185   -0.2700
-0.3586    -0.0845    0.9296
```

## Cambio de variable, desacoplamiento SVD + PIDs

**Desacoplamiento SVD** se basa en que  $G_{esc}(0) = USV^T$  implica que  $S = U^T \cdot G_{esc}(0) \cdot V$  es diagonal (a frecuencia baja)... Entonces si  $u = V\tilde{u}$ ,  $\tilde{y} = U^T y$ , tenemos

$$\tilde{y} = U^T \cdot G \cdot u = \underbrace{U^T G V}_{\tilde{G}} \cdot \tilde{u}$$

con  $\tilde{G}$  diagonal a baja frecuencia.

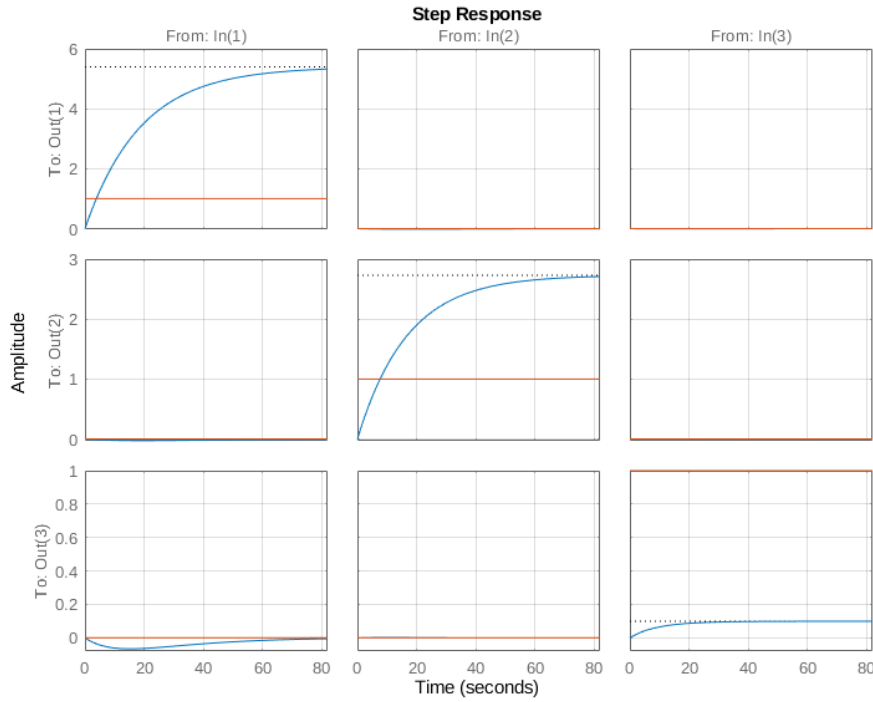
```
tildeGdinamico=U'*forn_esc*V;
tildeG=dcgain(tildeGdinamico) %coincide con S
```

```
tildeG = 3x3
 5.3999    0.0000    0.0000
```

```
-0.0000 2.7314 -0.0000
0.0000 0.0000 0.0988
```

Si vemos el transitorio en tiempo:

```
step(tildeGdinamico, tf(eye(3)), 82), grid on
```



En efecto, está bastante desacoplado. Descartaremos controlar el tercer componente singular, porque su "ganancia" (valor singular) es muy pequeña. El condicionamiento del subsistema que vamos a controlar es bueno:

```
S(1,1)/S(2,2)
```

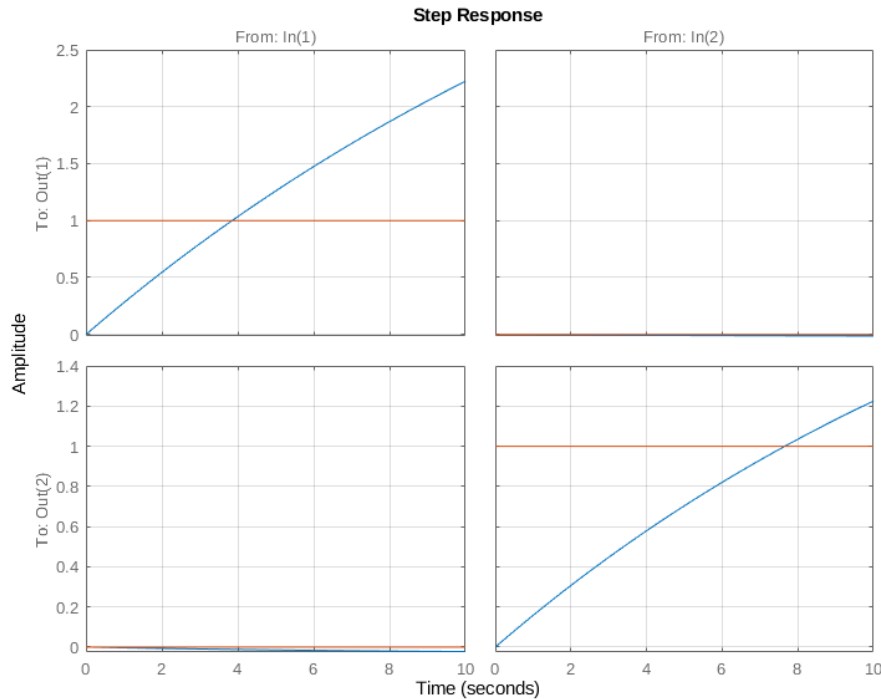
```
ans = 1.9770
```

El control con "desacoplamiento SVD" sería un  $K_{desac}$  diagonal (comenzar con un PI, por ejemplo, dado que el desacoplamiento se origina por el SVD del proceso a frecuencias bajas --ganancia estática--), que en vez de controlar a  $\tilde{G}$ , implementaríamos con  $K = V_{(:,1:2)} * K_{desac} * U_{(:,1:2)}^T$ . Controlaríamos, por tanto, la proyección de los errores sobre las 2 primeras columnas de  $U$  (la otra tiene muy poca ganancia, y el bucle tendría muy mal condicionamiento). La acción integral haría cero esos dos componentes (en régimen permanente).

Si vemos las fases iniciales del transitorio:

```
tildeGdinamico=tildeGdinamico(1:2,1:2);
```

```
step(tildeGdinamico, tf(eye(2)), 10), grid on
```



La primera maniobra tarda 4 segundos en llegar a 1, la segunda 8 segundos... son estimados optimistas de  $t_{est}$ , porque necesitamos "frenar" y "medir filtrando ruidos" y no "saturar durante todo el transitorio", son más estimados de tiempo de "subida" quizás.

## Sintonía de PIDs

Diseñemos con pidtune, primero poniendo la frecuencia de corte con 0dB de las maniobras, luego subiendo el ancho de banda objetivo hasta que se saturé a 1 en el transitorio la acción de control:

```
K1=pidtune(tildeGdinamico(1,1), 'PI', 0.36) %0.36 para saturar 1, 0.29 el ancho de banda
```

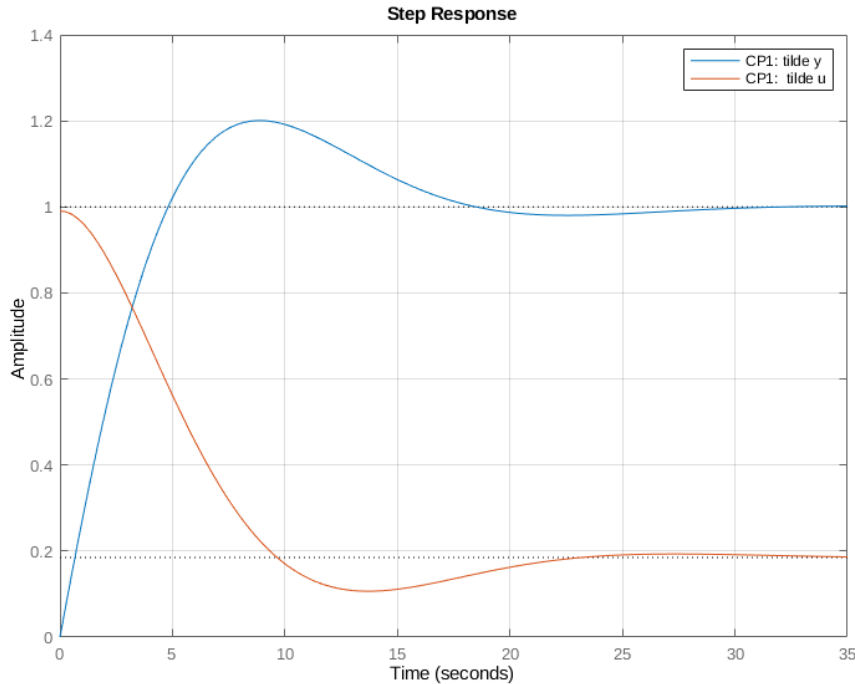
K1 =

$$K_p + K_i \cdot \frac{1}{s}$$

with  $K_p = 0.991$ ,  $K_i = 0.284$

Continuous-time PI controller in parallel form.

```
CL1=feedback(tildeGdinamico(1,1)*K1,1);
CL1u=feedback(K1,tildeGdinamico(1,1));
step(CL1,CL1u), grid on, legend('CP1: tilde y','CP1: tilde u')
```



```
K2=pidtune(tildeGdinamico(2,2), 'PI', 0.21) %0.21 para saturar 1, 0.15 el ancho de banda
```

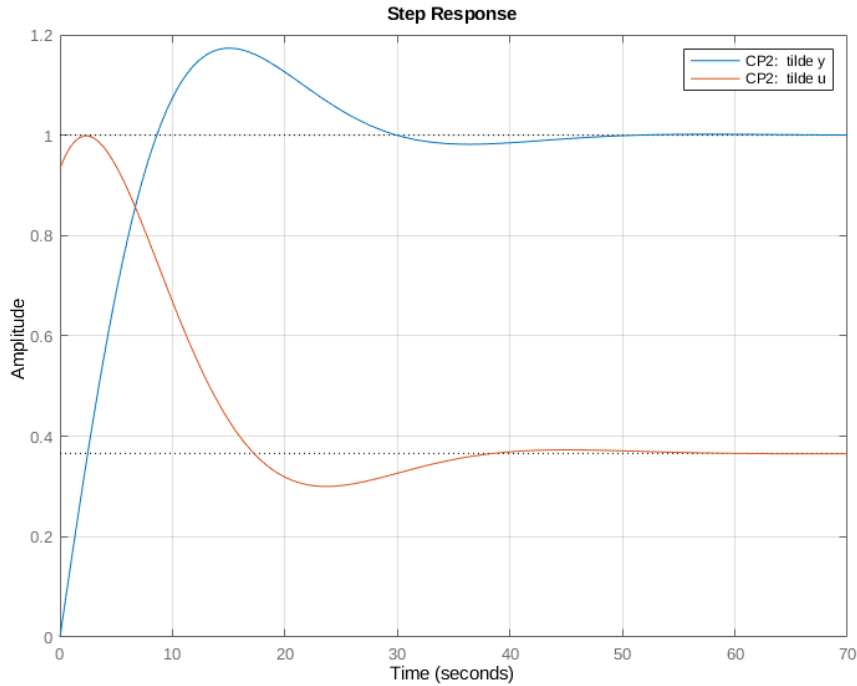
K2 =

$$K_p + K_i \cdot \frac{1}{s}$$

with  $K_p = 0.934$ ,  $K_i = 0.202$

Continuous-time PI controller in parallel form.

```
CL2=feedback(tildeGdinamico(2,2)*K2,1);
CL2u=feedback(K2,tildeGdinamico(2,2));
step(CL2,CL2u), grid on,, legend('CP2: tilde y','CP2: tilde u')
```



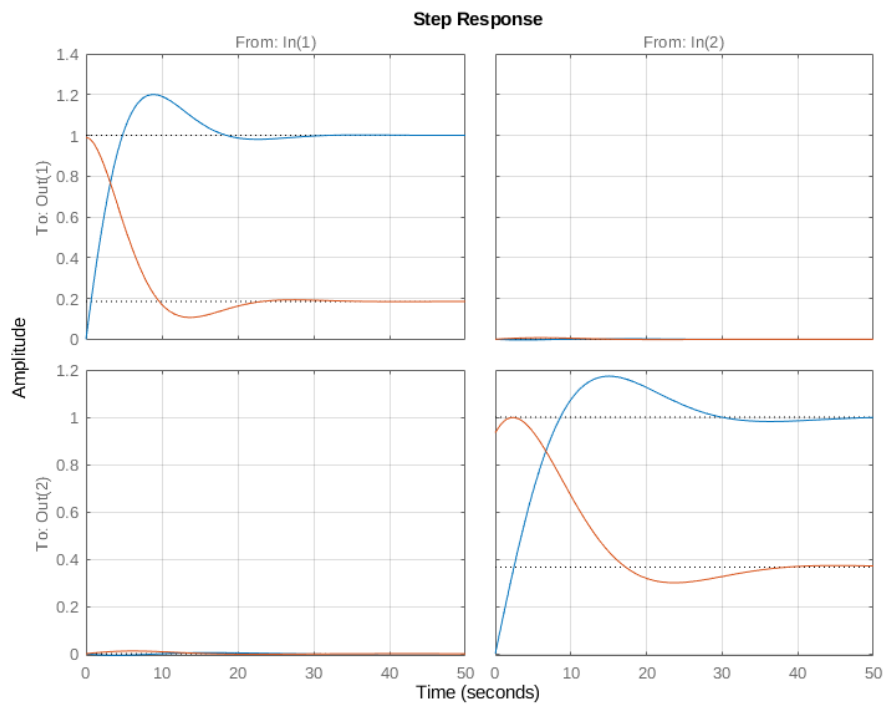
Con los anchos de banda objetivos del sigma del proceso, conseguimos tiempos de subida de 6 y 12 segundos, establecimiento de 20 y 35 segundos.

Saturando a 1 escalón conseguimos aproximadamente el "tiempo de subida" de 4 y 8 segundos... establecimiento, un poco mayor (15 y 30 segundos).

### **Propiedades en bucle cerrado (tiempo, frecuencia) de los componentes principales**

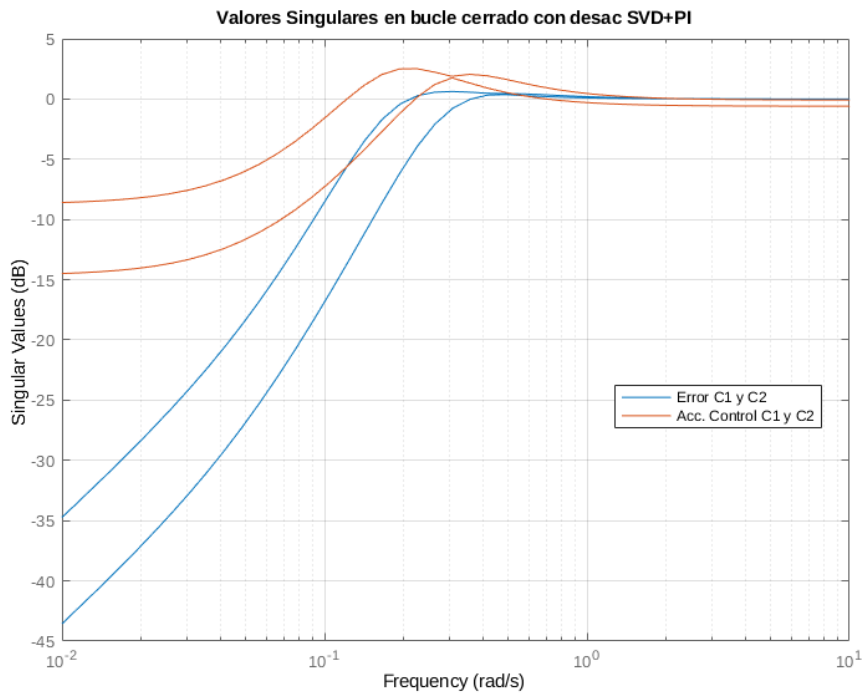
Simulemos todo en bucle cerrado, no sólo los elementos diagonales:

```
K2PITot=minreal(ss(blkdiag(K1,K2))); %no hagamos operaciones multivariadas en MdT, numé
CLTot=feedback(tildeGdinamico*K2PITot,eye(2));
CLTotu=feedback(K2PITot,tildeGdinamico);
step(CLTot,CLTotu,50), grid on
```



En frecuencia (error, acc. control):

```
ref_a_error=eye(2)-CLTot;
sigma(ref_a_error,CLTot), grid on, legend('Error C1 y C2','Acc. Control C1 y C2',Locat
title("Valores Singulares en bucle cerrado con desac SVD+PI")
```

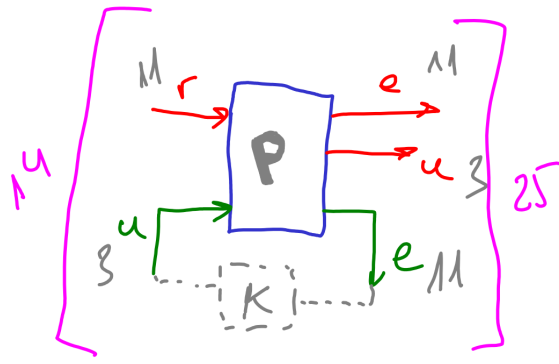


Si ponemos ancho de banda hasta saturar a 1 ante escalón, la acción de control "superá 1" en amplitudes de referencia o perturbación a ciertas frecuencias... Podemos hacer el regulador más corto o darlo por bueno hasta comprobar el funcionamiento experimental (apenas son un par de decibelios y tenemos la incertidumbre esferas-cuadrados, y si saturamos "sólo esporádicamente" tampoco está tan mal)... aunque si se deseara que las maniobras fueran a "máximo 1" algún termopar en vez de "norma 1" podríamos saturar en exceso...

**Importante:** Aunque parezca 2x2 recordemos que estamos controlando 2 "combinaciones de sensores" con 2 "combinaciones de actuadores", con lo que realmente estamos gastando los **11 sensores y 3 actuadores** del proceso físico, en las direcciones de más ganancia.

## Control centralizado H2 o H-infinity

Planta Generalizada no ponderada



Planta generalizada en representación interna:

```

orden=size(forn_esc.A,1);
nrefs=11;
Bgen=zeros(orden,nrefs) forn_esc.B]; %entradas referencia y control
%salidas planta generalizada: error, acc. control, error_a_contr
Cgen=[-forn_esc.C;zeros(3,orden);-forn_esc.C];
Dgen=[eye(nrefs) -forn_esc.D;zeros(3,nrefs) eye(3);eye(nrefs) -forn_esc.D];
PlantaGeneralizada=ss(forn_esc.A,Bgen,Cgen,Dgen);
size(PlantaGeneralizada)

```

State-space model with 25 outputs, 14 inputs, and 11 states.

**Alternativa:** Planta generalizada "por bloques"

```

%PlantaGenPrueba2=minreal([eye(11) -forn_esc; ...
%                           zeros(3,11) eye(3); ...
%                           eye(11) -forn_esc]); %sale duplicada la planta
PlantaGenPrueba2=minreal( ...
[ [eye(11) ;zeros(3,11); eye(11)] - [eye(11); zeros(3,11); eye(11)]*forn_esc+[zeros(1,11)*eye(3)]

```

Ambas alternativas son la misma:

```
norm(PlantaGenPrueba2-PlantaGeneralizada, 'inf')
```

ans = 4.5589e-16

## Diseño H-2 (LQR+Kalman)

Si queremos minimizar la integral de la respuesta "determinista" ante escalón de referencia

$\frac{1}{s}$  ... bueno  $\int_0^{\infty} (\|err(t)\|^2 + \|u(t)\|^2) dt$  dado que todo está escalado para que las unidades sean comparables, tendremos:

```

s=tf('s');
Win=blkdiag(1/(s+.001)*eye(11),tf(eye(3)));
PlantaPonderadaH2=minreal(PlantaGeneralizada*Win);
PlantaPonderadaH2= ...

```

```

ss(blkdiag(eye(11),2.5*blkdiag((s+0.001)/(1*s+1)*eye(2),1)*V',eye(11))*PlantaGeneralizada
%PlantaPonderadaH2= ...
%ss(blkdiag(blkdiag((s+1)/(s+0.001)*eye(2),1)*U',eye(3)*5,eye(11))*PlantaGeneralizada*V'
[K_h2,~,GAM2,~]=h2syn(PlantaPonderadaH2,11,3); GAM2 %no tiene nada que ver con "1"

```

GAM2 = 67.1361

```
size(K_h2)
```

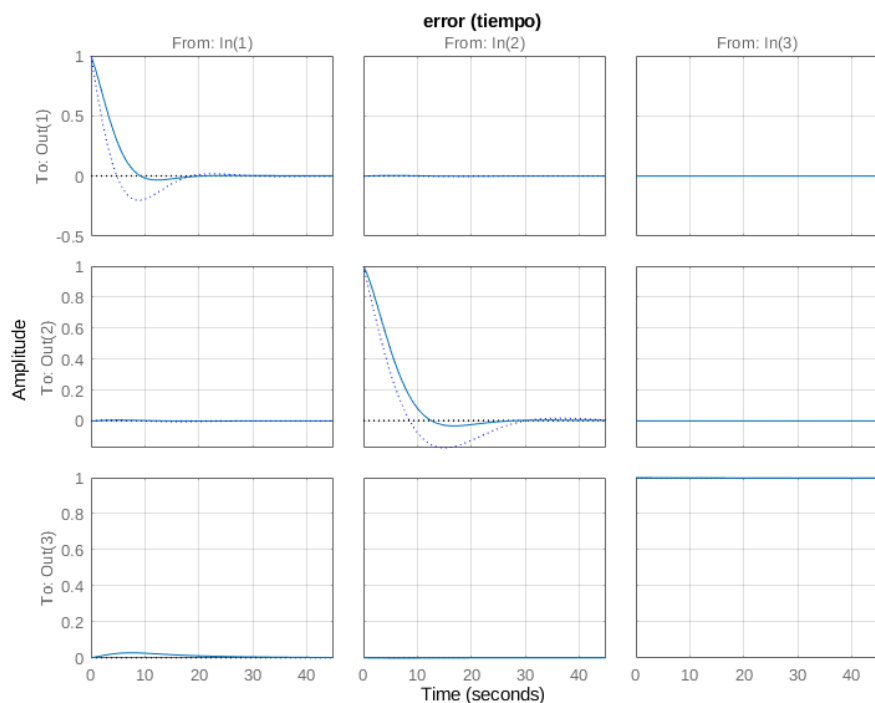
State-space model with 3 outputs, 11 inputs, and 24 states.

```
CL2=lft(PlantaGeneralizada,K_h2);
dcgain(U(:,1:3) '*CL2(1:11,:)*U(:,1:3))
```

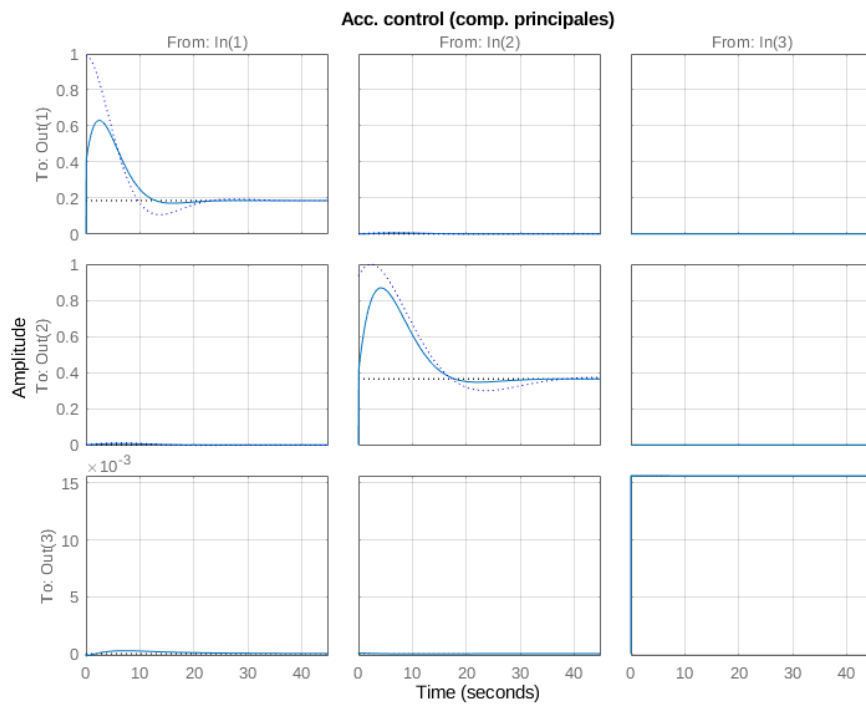
```
ans = 3x3
0.0033    0.0000    0.0005
0.0000    0.0047   -0.0000
0.0000   -0.0000    0.9985
```

Comparando la respuesta temporal, se parece mucho al desacoplamiento SVD:

```
step(U(:,1:3) '*CL2(1:11,:)*U(:,1:3),ref_a_error,:',45), grid on, title("error (tiempo")
```



```
step(V'*CL2(12:14,:)*U(:,1:3),CLTotu,:',45), grid on, title("Acc. control (comp. princ")
```



## Diseño H-infinity ( ≈ sensibilidad mixta)

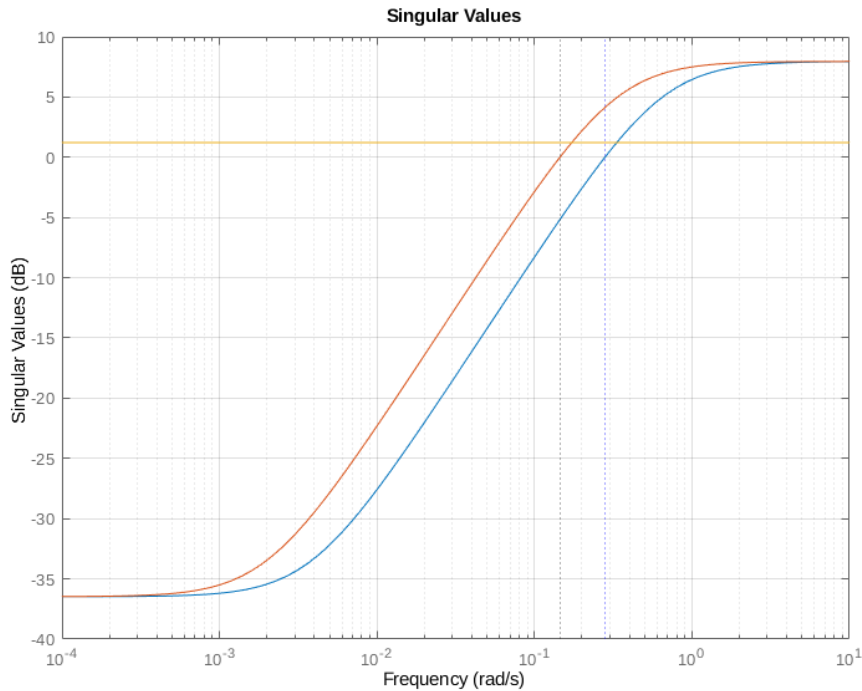
```

anchobandamaniobras=[.28 .145]; %queremos acercar a ancho banda del sigma.
plantillaErr{1}=makeweight(0.015,anchobandamaniobras(1),2.5);
plantillaErr{2}=makeweight(0.015,anchobandamaniobras(2),2.5);
plantillaErr{3}=tf(1.15);%que no tenga "picos" nos vale
Werr= ...
minreal(blkdiag(1/plantillaErr{1},1/plantillaErr{2},1/plantillaErr{3})*U');

```

2 states removed.

```
sigma(plantillaErr{:}), grid on, xline(anchobandamaniobras(1), ':b'), xline(anchobandamaniobras(2), ':r')
```



```
Wu=tf(eye(3));
Wout=blkdiag(Werr,Wu,eye(11));
```

Planta generalizada ponderada:

```
PlantaGenPonderada=minreal(Wout*PlantaGeneralizada);
```

Controlador óptimo  $\mathcal{H}_\infty$ :

```
[K,~,GAM,~]=hinfsyn(PlantaGenPonderada,11,3);GAM
```

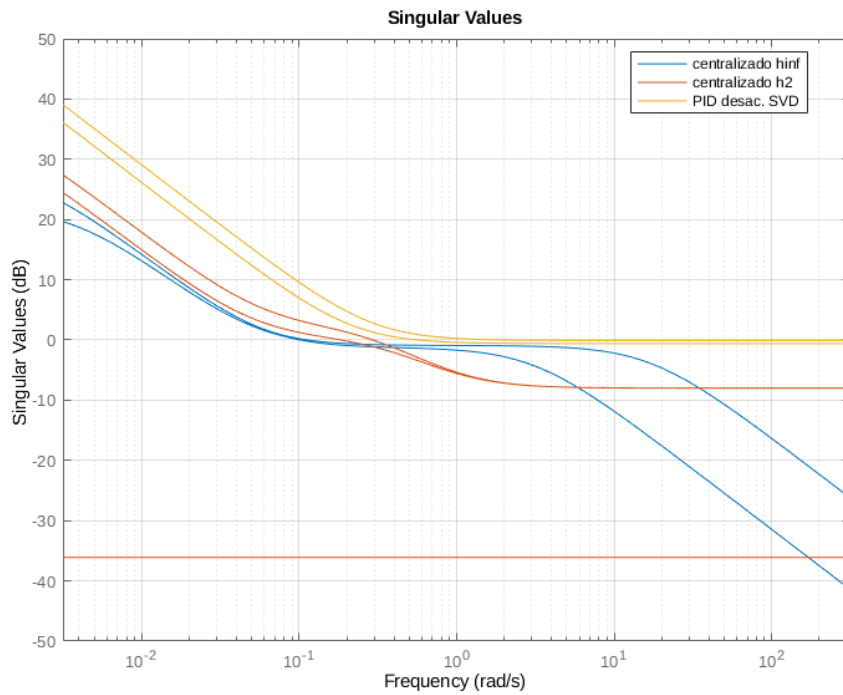
```
GAM = 0.9995
```

```
size(K)
```

```
State-space model with 3 outputs, 11 inputs, and 13 states.
```

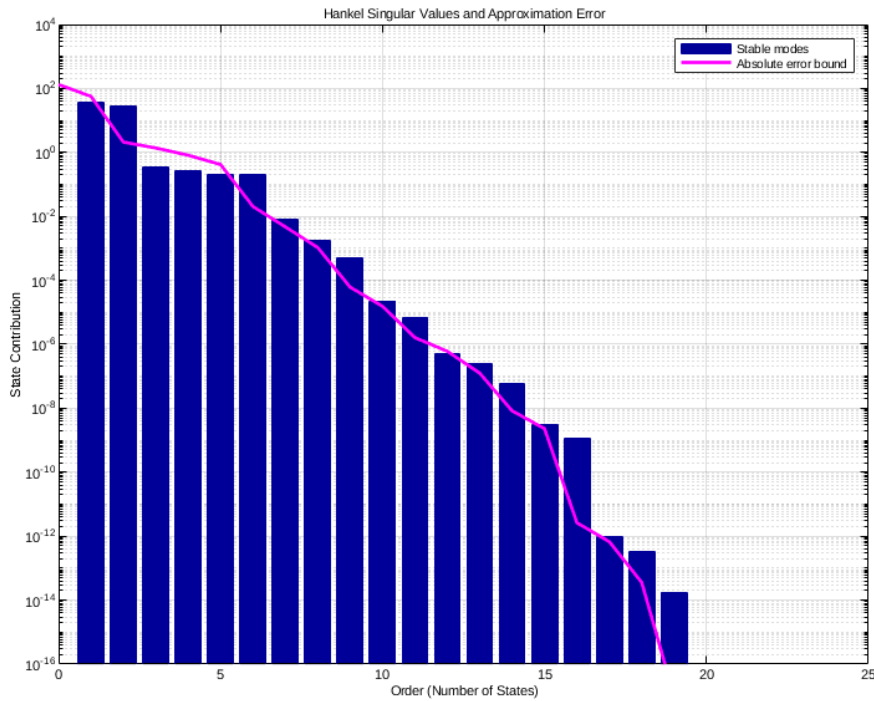
Comparamos las ganancias de los reguladores:

```
sigma(K,K_h2,K2PITot,logspace(-2.5,2.5,200)), ylim([-50,50]), grid on,
legend("centralizado hinf","centralizado h2","PID desac. SVD",Location="best")
```



## Reducción de orden de reguladores

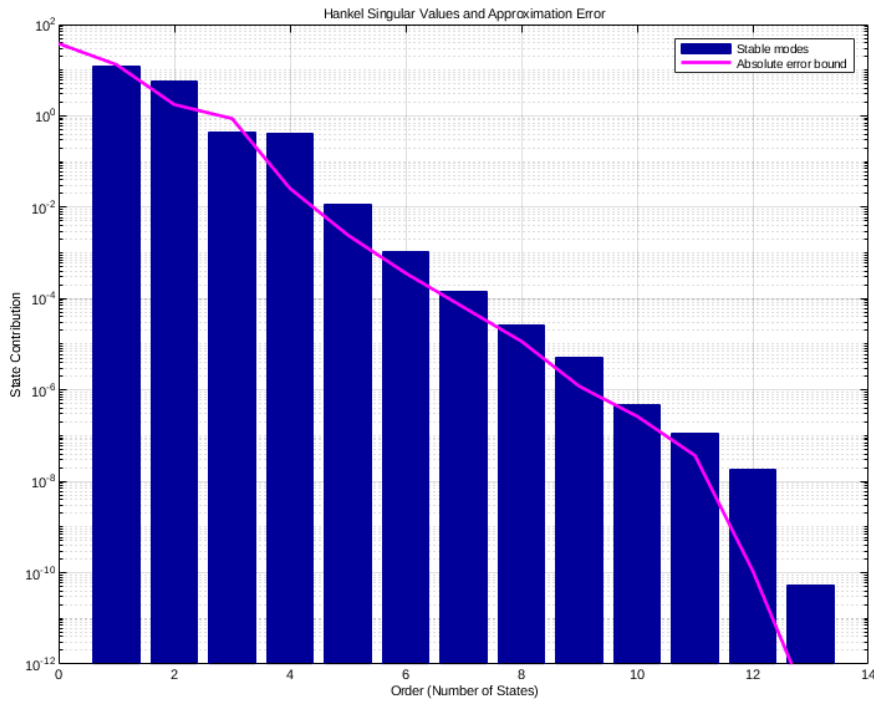
```
balred(K_h2)
```



```
K_h2reducido=balred(K_h2,3);
CLpond=lft(PlantaPonderadaH,K_h2reducido); %apenas perdemos prestaciones por reducir a
format long
[norm(CLpond,2) GAM2]
```

```
ans = 1x2
67.141796159497233 67.136087707925782
```

```
balred(K)
```



```
Kreducido=balred(K,2);
CLpond=lft(PlantaGenPonderada,Kreducido); %apenas perdemos prestaciones por reducir a c
[norm(CLpond,'inf')] GAM]
```

```
ans = 1x2
1.003233054578371 0.999501393396391
```

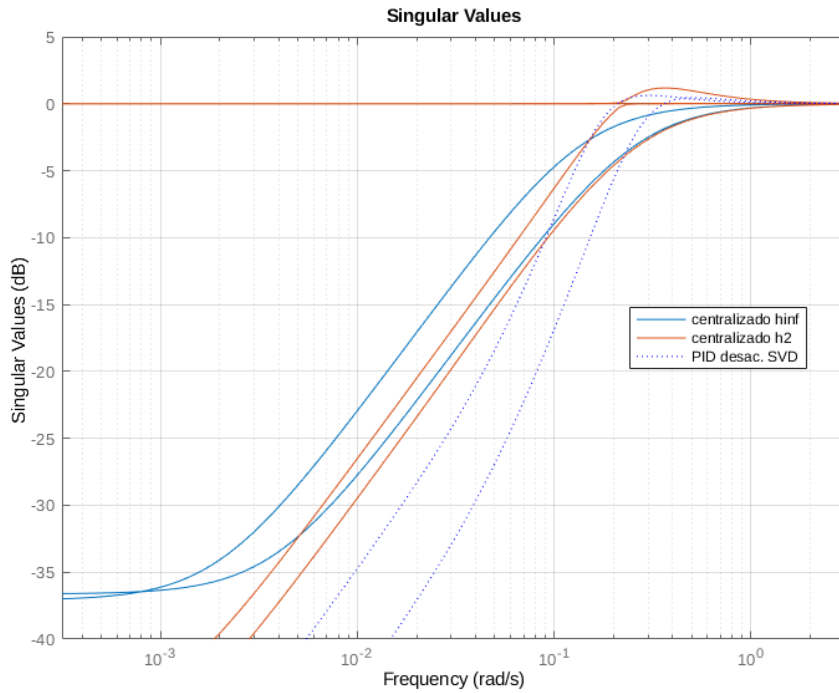
```
format short
```

Análisis de propiedades de control resultantes en tiempo y frecuencia (unidades originales):

```
CLinf=lft(PlantaGeneralizada,Kreducido);
CL2=lft(PlantaGeneralizada,K_h2reducido);
size(CLinf)
```

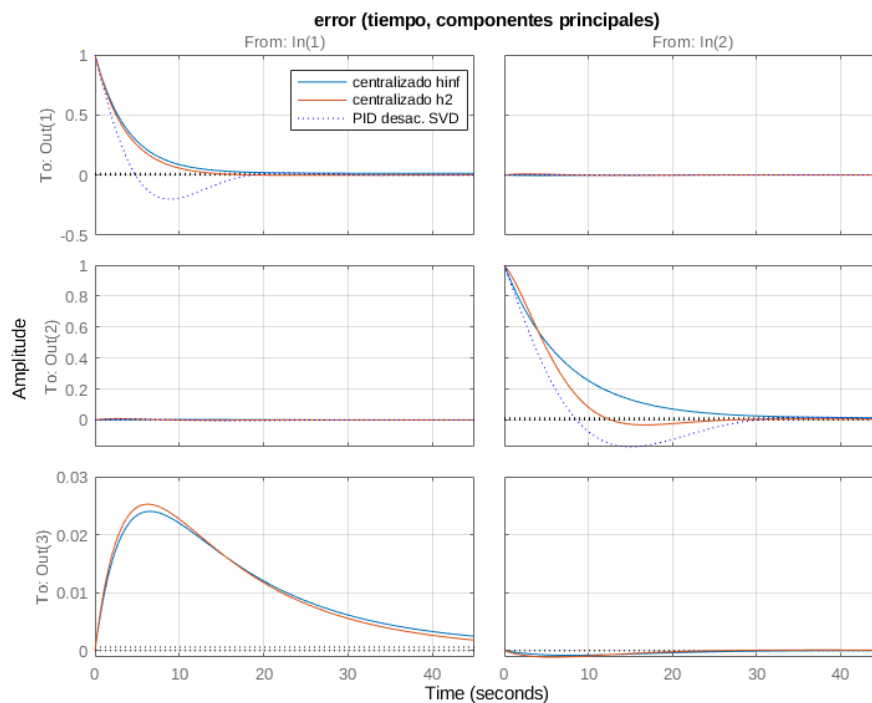
```
State-space model with 14 outputs, 11 inputs, and 13 states.
```

```
sigma(CLinf(1:11,:),CL2(1:11,:),ref_a_error,:',logspace(-3.5,0.5,100)), grid on, ylim
```

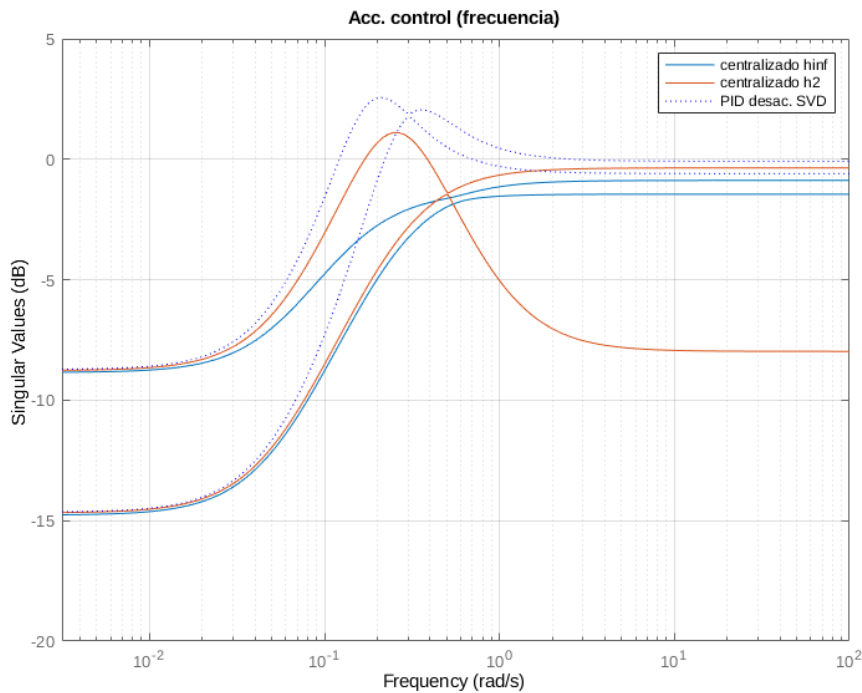


## Comparando la respuesta temporal

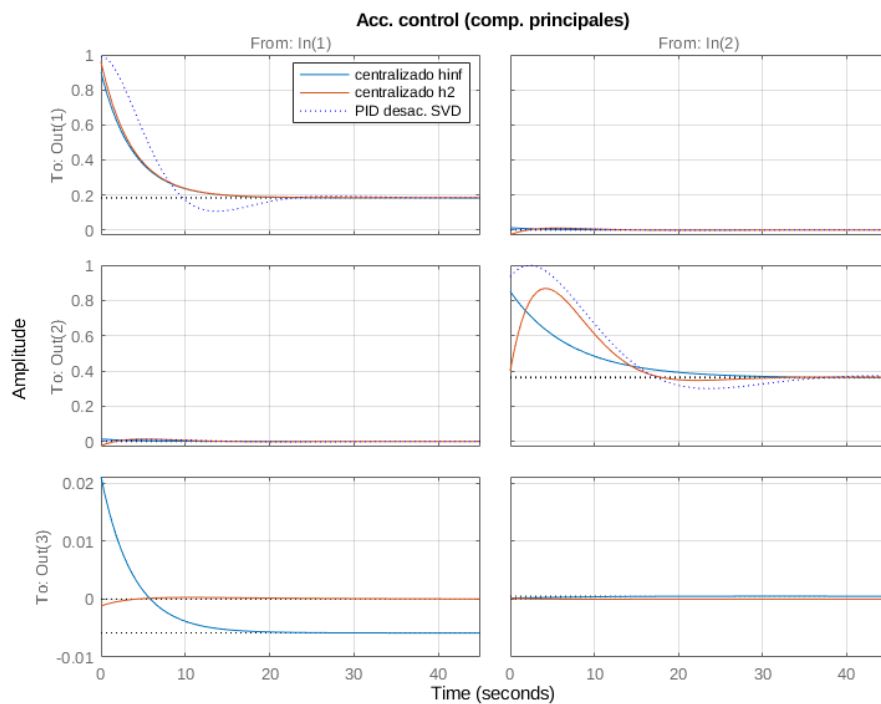
```
step(U(:,1:3)'*CLinf(1:11,:)*U(:,1:2), U(:,1:3)'*CL2(1:11,:)*U(:,1:2), ref_a_error, 'r', 45)
```



```
sigma(CLinf(12:14,:), CL2(12:14,:), CLTotu, 'r', logspace(-2.5,2,250)), ylim([-20 5]), grid
```

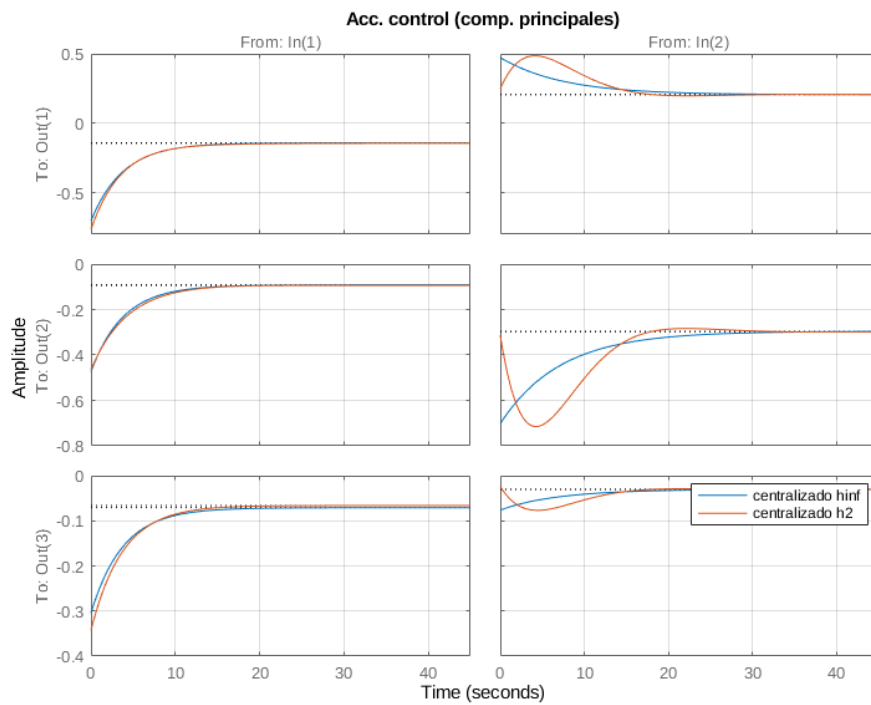


```
step(V'*CLinf(12:14,:) *U(:,1:2), V'*CL2(12:14,:) *U(:,1:2), CLTotu, ':', 45), grid on, title
```



```
step(CLinf(12:14,:) *U(:,1:2), CL2(12:14,:) *U(:,1:2), 45), grid on, title("Acc. control (
```

Warning: Ignoring extra legend entries.



## Robustez de los diseños de control

Aunque depende de "escalados" y de "distribución en frecuencia de la incertidumbre", una forma rápida de evaluar (aparte de, claro, probar experimentalmente si la "simulación" se parece a la "práctica" que es "lo único que realmente importa") todos los picos de respuesta en frecuencia entre pert. entrada/salida y acc.control/vbles controladas serán bajos si el margen "normalised coprime factor" es grande:

```
ncfmargin(forn_esc,K_h2) %h2syn
```

```
ans = 0.5430
```

```
ncfmargin(forn_esc,K_h2reducido)
```

```
ans = 0.5426
```

```
ncfmargin(forn_esc,K) %hinfsyn
```

```
ans = 0.6932
```

```
ncfmargin(forn_esc,Kreducido)
```

```
ans = 0.7044
```

```
ncfmargin(forn_esc,V(:,1:2)*K2PITot*U(:,1:2)') %el de PIDs, en unidades físicas
```

```
ans = 0.4758
```

## Conclusiones

Hemos sintonizado:

- a) dos PIDs (PI en concreto) para controlar un modelo de horno de **11 sensores y 3 actuadores** mediante **desacoplamiento SVD** en las direcciones controlables de buena ganancia.
- b) reguladores óptimos  $\mathcal{H}_2$ , con distintas opciones de pesos.
- c) Regulador  $\mathcal{H}_\infty$ , con anchos de banda diferentes para cada maniobra SVD (en peso de salida).

Para que el orden de los diseños  $\mathcal{H}_2$  y  $\mathcal{H}_\infty$  sea aceptable, éste debe ser reducido.

Los tres diseños dan resultados "parecidos", jugando adecuadamente con los pesos y las diferentes opciones de diseño, si no hay saturación de las entradas.